

O₂ dans la Vasière Ouest Gironde (Golfe de Gascogne)

Atelier ODATIS – O₂
Paris, 2-3 juillet 2019



Vasière Ouest Gironde et Estuaire de la Gironde

La Vasière Ouest Gironde : Principales caractéristiques

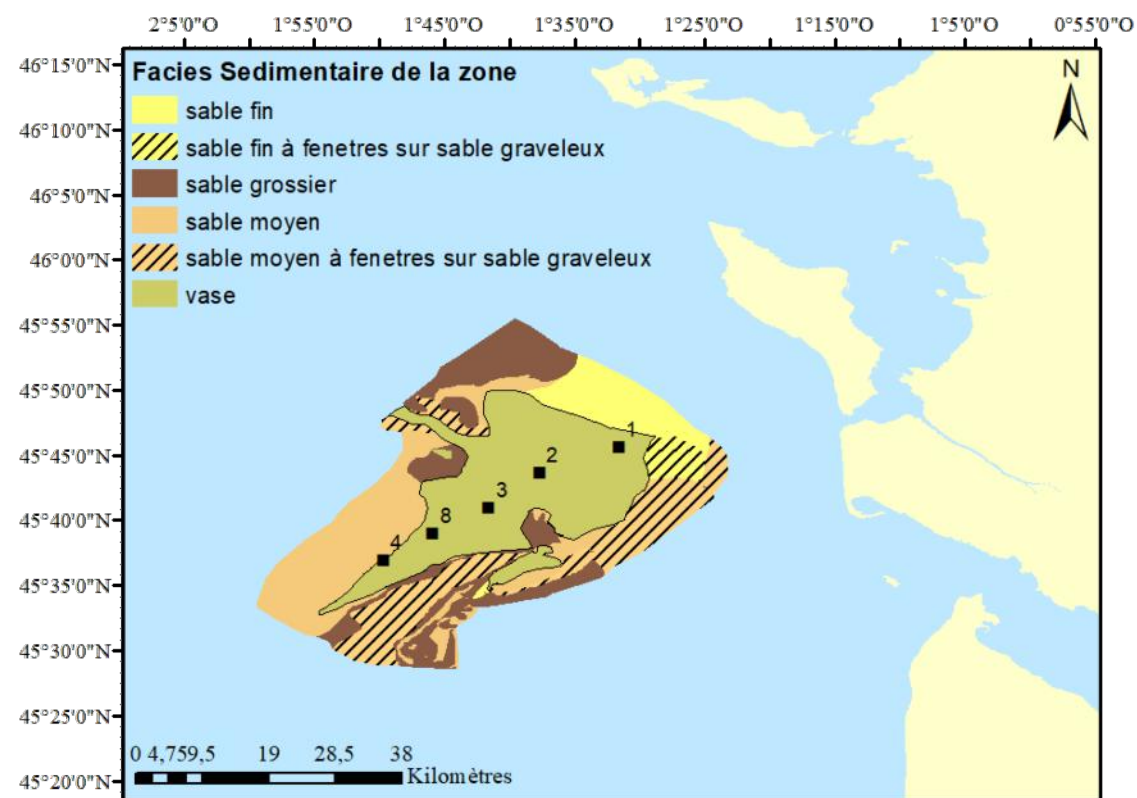


Vasière Ouest Gironde et Estuaire de la Gironde

- Vasière Ouest Gironde: 25 km de l'embouchure de l'Estuaire de la Gironde
 - principale source de vase pour la marge Aquitaine (VOG: 20-40% flux particulaire)
 - 0.2 à 3 mm.an⁻¹

- Estuaire Gironde : surface de 635 km²
 - 75 km entre l'embouchure et la jonction de la Dordogne et la Garonne
 - bassin versant de 74 000 km²
 - Système macro-tidal (semi-diurne; marnage jusqu'à 5 m à l'embouchure)
 - Débit liquide : $2,5 \cdot 10^{10} \text{ m}^3 \text{ an}^{-1}$ avec jusqu'à $7 500 \text{ m}^3 \text{ s}^{-1}$ (crue exceptionnelle)
 - Flux matériel particulaire fluvio-estuarien : $1,2 - 2,5 \cdot 10^6 \text{ T an}^{-1}$
 - Temps résidence particules dans l'estuaire : 12-24 mois

La Vasière Ouest Gironde : Principales caractéristiques



(Jouanneau & Latouche 1981 ; Jouanneau et al 1989; Lesueur et al. 2002; Dano 2019)

- Surface 420-600 km² avec orientation Orientation NE-SW
- Bathymétrie entre 30 et 75 m
- Epaisseur de la couche de vase: 1 – <4 m
- Vase argilo-silteuse avec sable fin-grossier en périphérie
- Accumulation au cours des 2 derniers millénaires résultant de l'interaction entre
 - la bathymétrie
 - re-suspension du matériel sédimentaire par l'hydrodynamisme (tempête, vague, houle)
 - $H_{max} > 4,8 \text{ m pdt } 30\text{j/an } (9s > T < 13s) \rightarrow \text{Tempête: } H_{max} > 15 \text{ m } (12s > T < 15s)$
 - la bioturbation

Projet VOG : Etude de la Structure et du Fonctionnement de l'Interface eau-sédiment dans la Vasière Ouest-Gironde

(2018-2022)



LEFE CYBER



lefe



Ecosphère
Continentale et
Côtière



Flotte océanographique française

- 7 missions déjà réalisées
- 4 campagne programmées



B Deflandre, A Grémare, S Schmidt, A Romero-Ramirez, G Bernard, F Garabétian, S Rigaud, C Fontanier, H Gillet, JP Walsh, P Lebleu, N Lavesque, A Sottolichio, B Castelle, J Grall, C Labrune, MA Cordier, D Poirier, M Leconte, J Martin, C Portier, A Dalto, M Ténorio.



Vasière Ouest Gironde et Estuaire de la Gironde



JERICO-NEXT (2015-2019) : Etude des liens entre pressions/perturbations et diversité

JRAP-2 : Etude des changements de la diversité benthique en lien avec ces perturbations

JRAP-3 : Développement outils d'observation



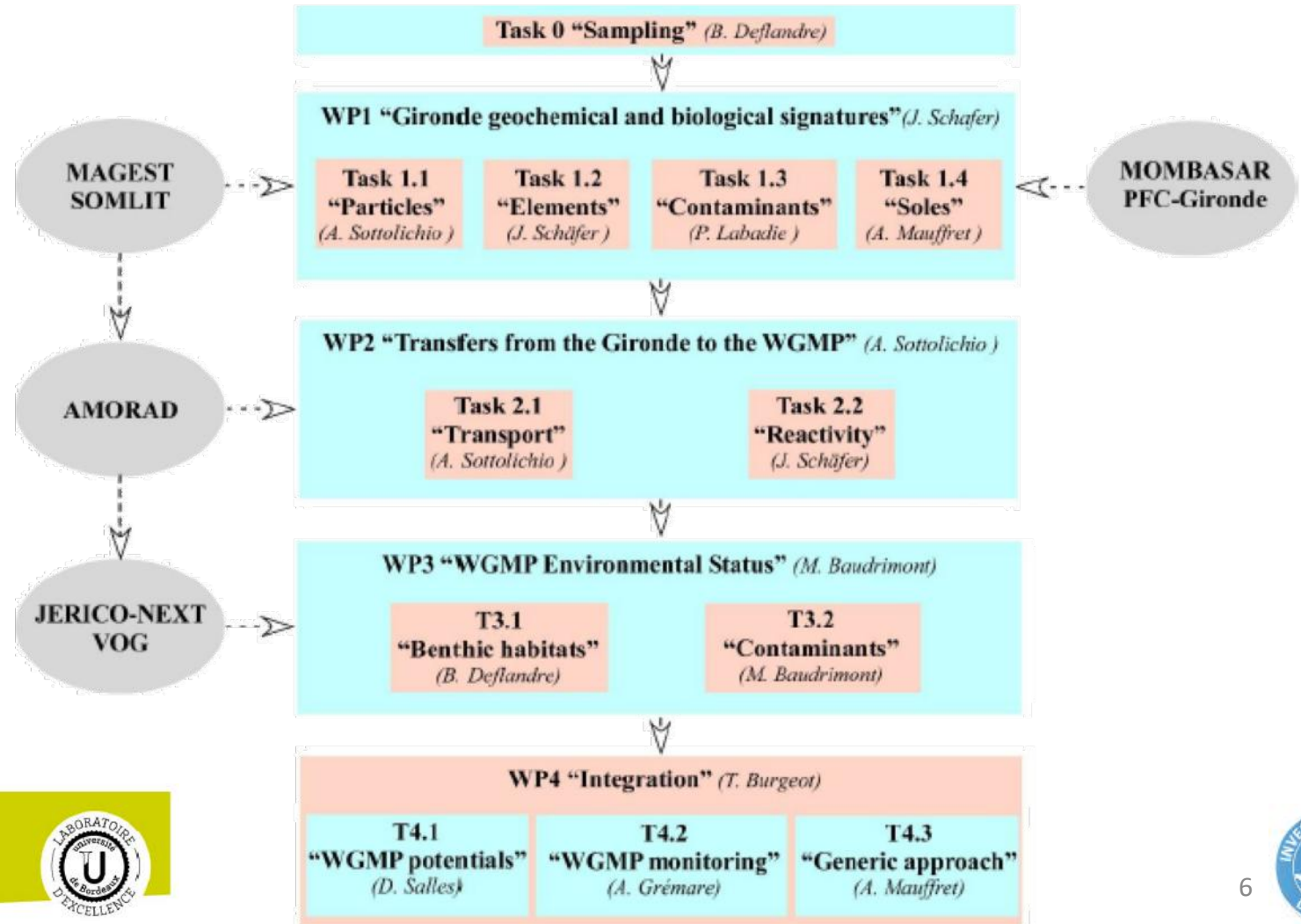
**MISE EN PLACE D'UN OBSERVATOIRE COTIER DE LA BIODIVERSITE ET DES
FONCTIONS DE L'ECOSYSTEME BENTHIQUE**

The West Gironde Mud Patch: an integrated model for the application of the Marine Strategy Framework Directive to marine offshore systems (MAGMA)

A Grémare (EPOC UB) et T Burgeot (IFREMER Nantes)

La vasière Ouest Gironde : un Modèle intégré pour l'Application de la Directive Cadre Stratégie Milieu Marin aux habitats du l'Arge (MAGMA)

(2019-2023)



Projet VOG : Etude de la Structure et du Fonctionnement de l'IES dans la Vasière Ouest-Gironde

Méthodologies

Colonne d'eau

Sédiments



Sonde CTD
(T, S, P, turbidité, PAR fluorescence, O₂)



Profileur microélectrodes



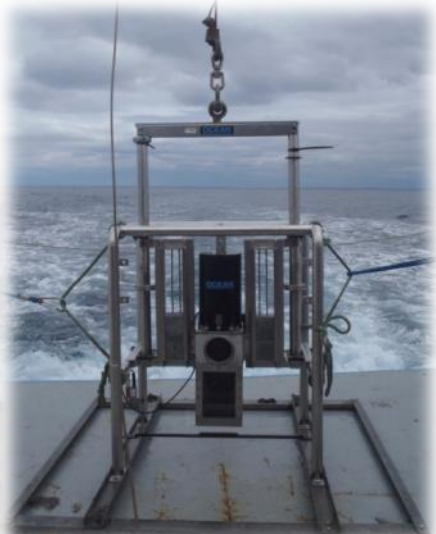
Cloches benthiques / Incubations carottes



Carottier multitubes



Benne Hamon



Profileur Images sédimentaires



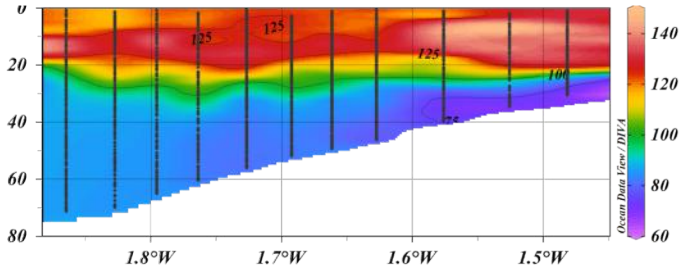
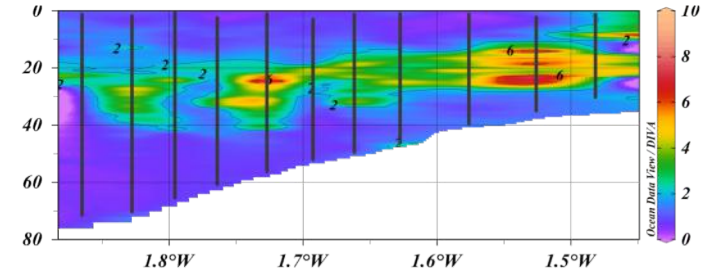
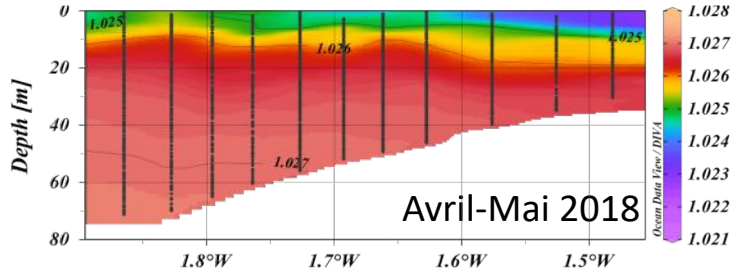
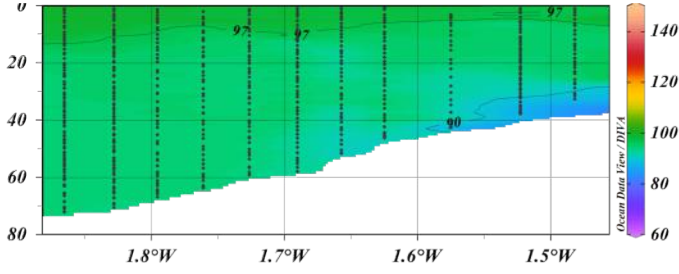
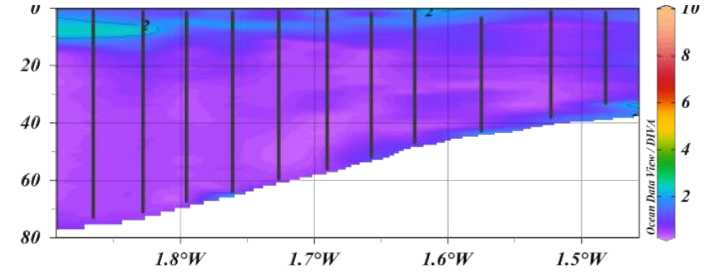
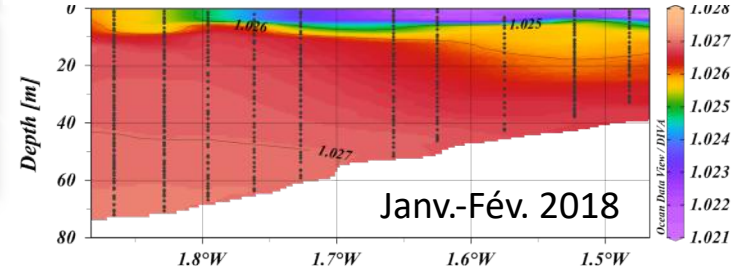
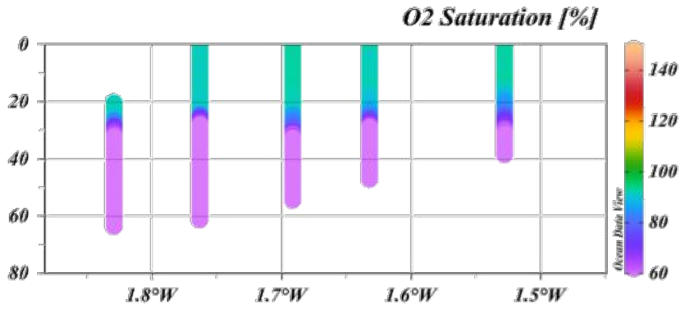
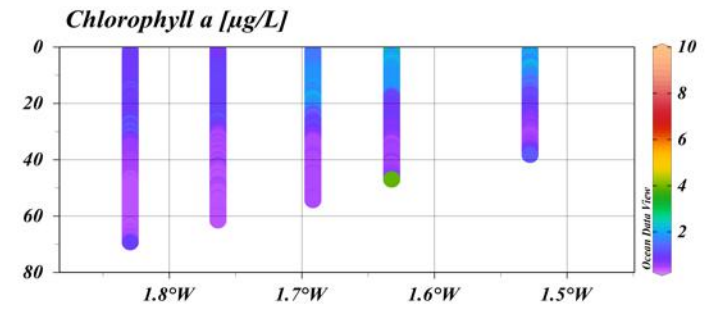
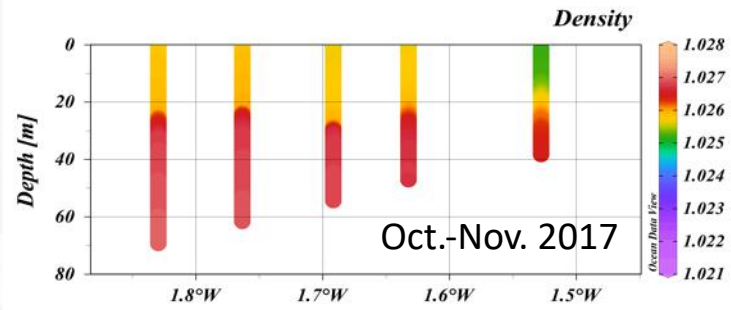
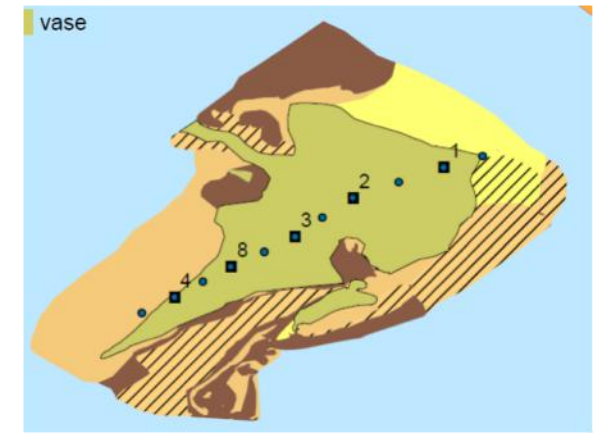
Banc hydraulique (érodimètre) IFREMER Arcachon

Caractéristiques du milieu

Diversité benthique
(procarotes, Archées, meiofaune, macrofaune)

Processus biogéochimiques

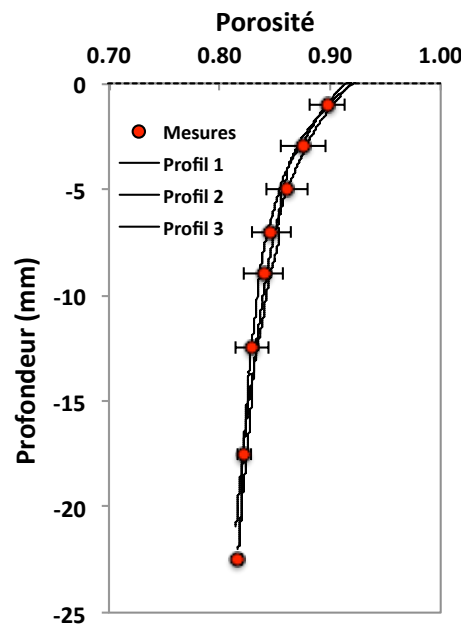
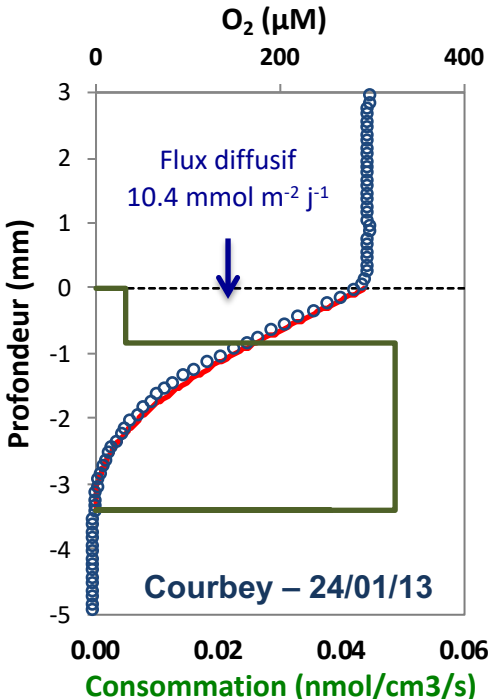
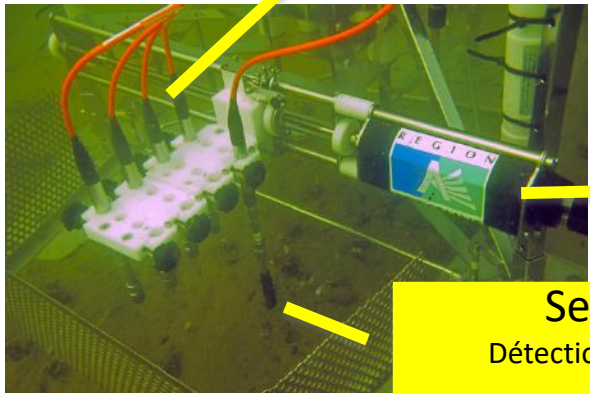
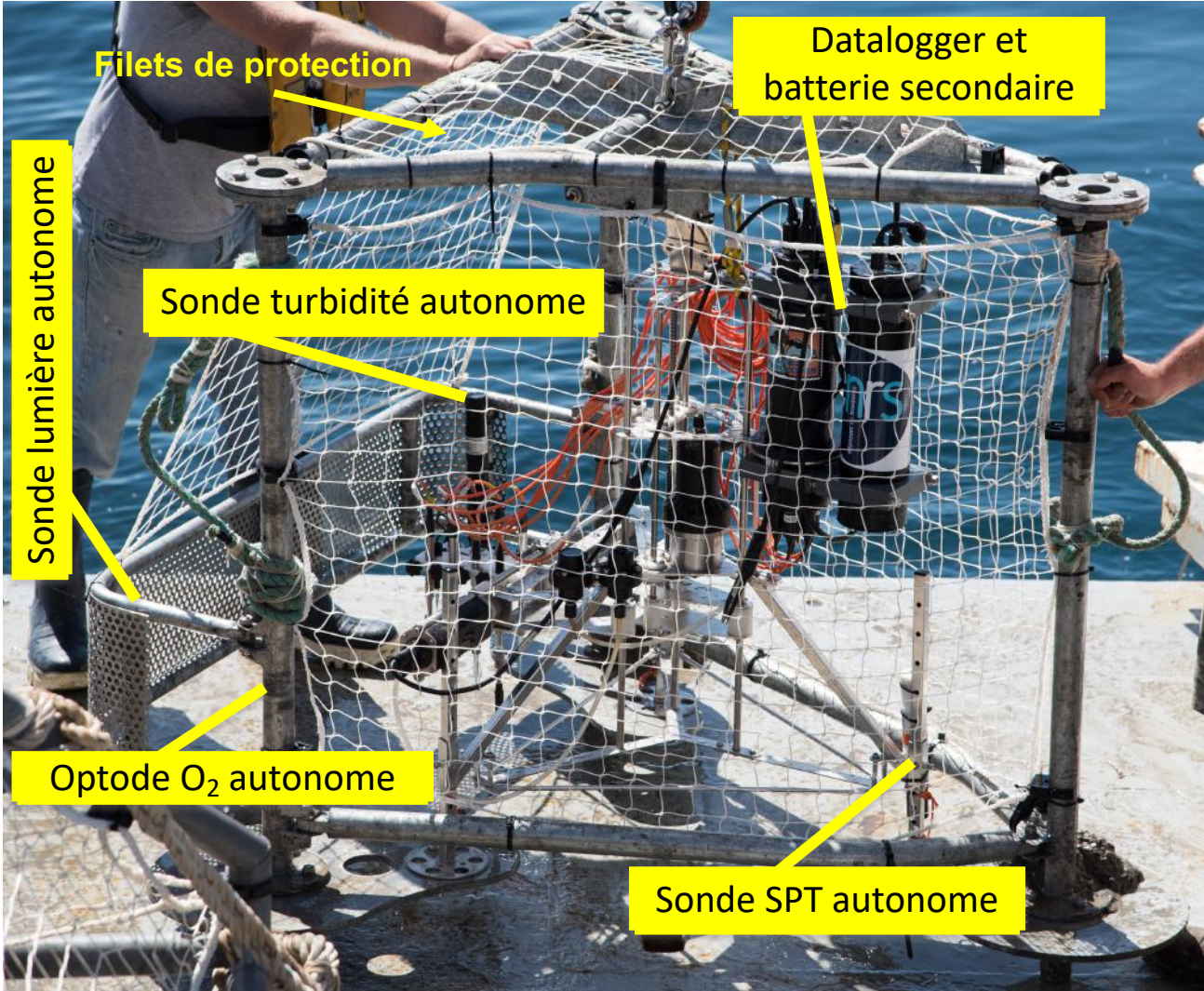
1-Transects : contextes hydrologiques contrastés



Seabird SBE-19 plus (T, S, Pression, PAR, fluorescence) + SDOT300 NKE (avec optode Aanderaa 4330F ; O₂) + STBE NKE (turbidité) + STPS NKE + SPAR NKE (PAR)

2. Le profileur benthique autonome de microélectrodes (Unisense)

4 types de micro-senseurs
(ex. O₂, H₂S, pH)



optode Aanderaa 4330F + SDOT300 NKE (avec optode Aanderaa 4330F ou 3835)

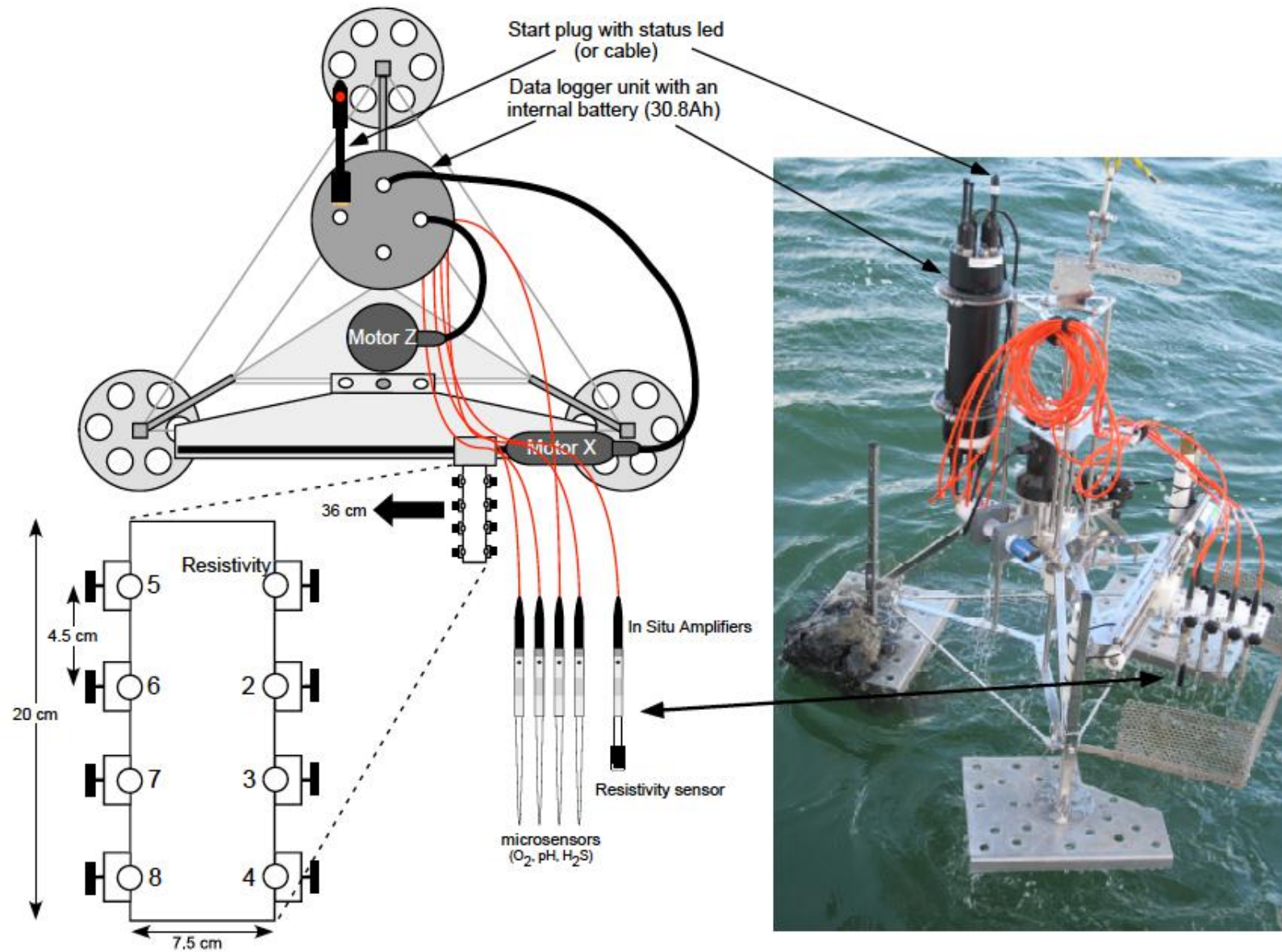


Figure III.1 Overview of the MP5 micro-profiler

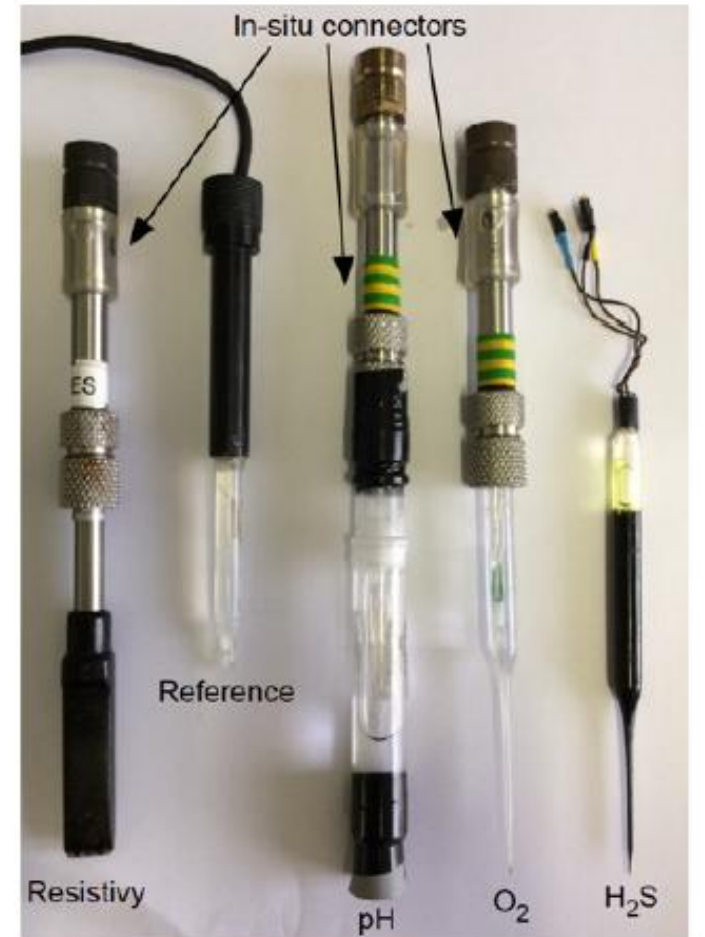
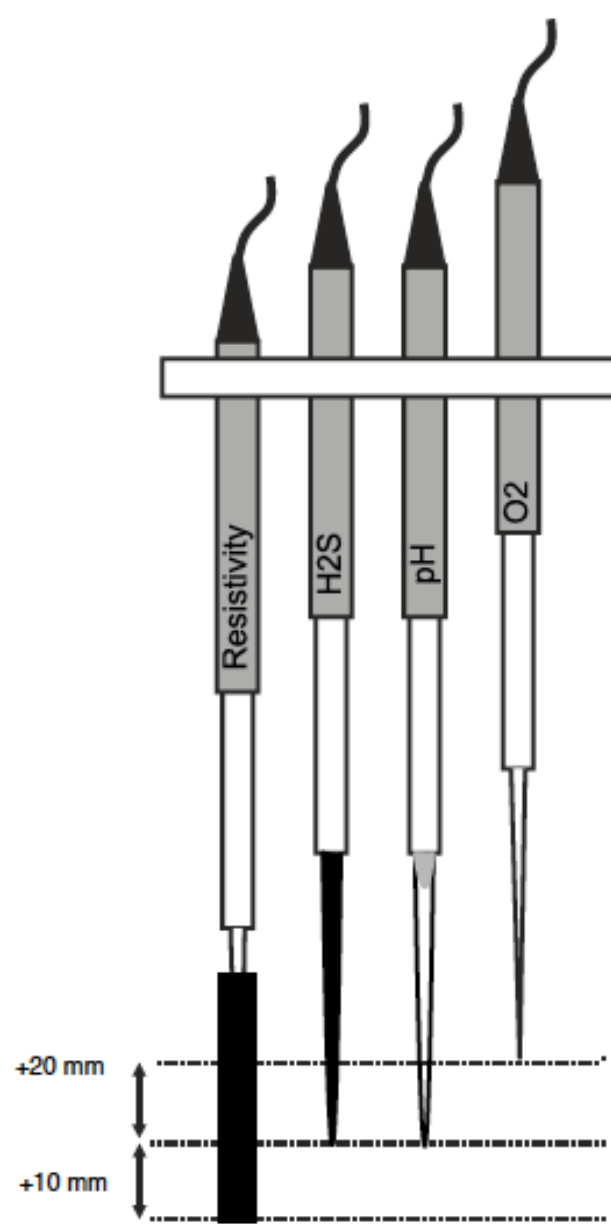


Figure III.3 Positions of respective sensors while profiling within the sediment column

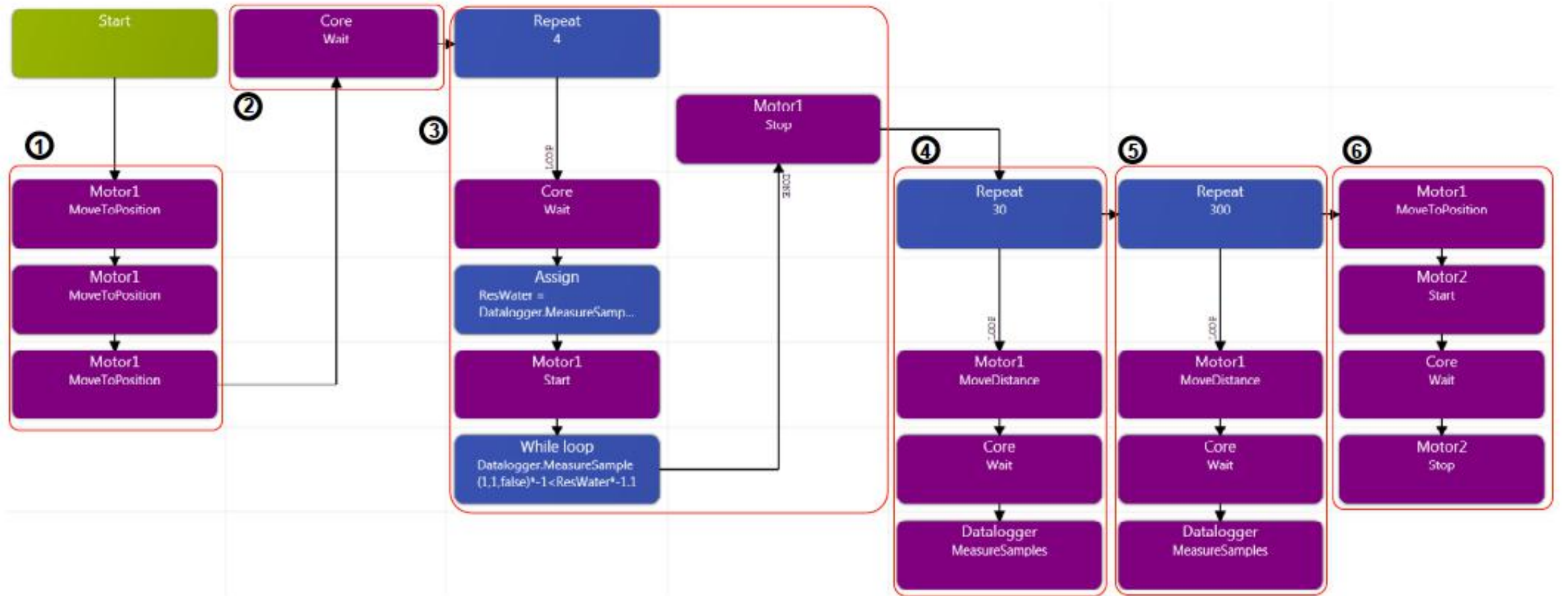


Figure III.4 Example of a profiling sequence for a total deployment time of 5.5 hours. Numbers are associated to the different steps described in the text.

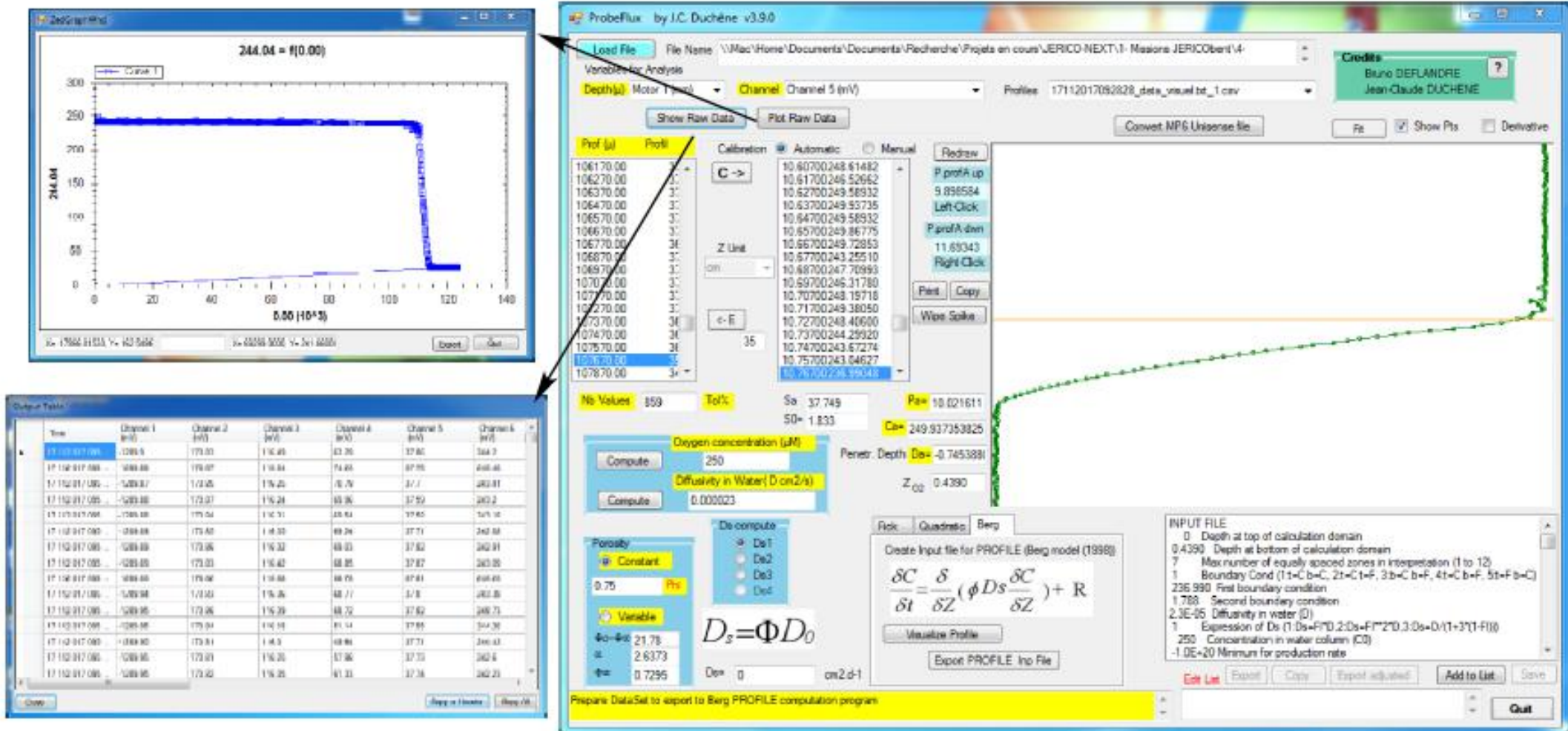


Figure 6 Snapshots of the new ProbeFlux software with its three new buttons/functions: (1) a “Show raw data” button to check the raw data for possible correction, (2) a “plot raw data” button to quickly plot untreated data, and (3) a “Convert MPx Unisense file” button for the conversion of data measured from the micro-profiler. See Deflandre et Duchêne (2010) for a more detailed description of software functioning.

Bassin d'Arcachon

Rigaud S, Deflandre B, Maire O, Bernard G, Duchêne JC, Poirier D, Anschutz P (2018) Transient biogeochemistry in intertidal sediments: New insights from tidal pools in *Zostera noltei* meadows of Arcachon Bay (France). *Marine Chemistry* 200:1-13

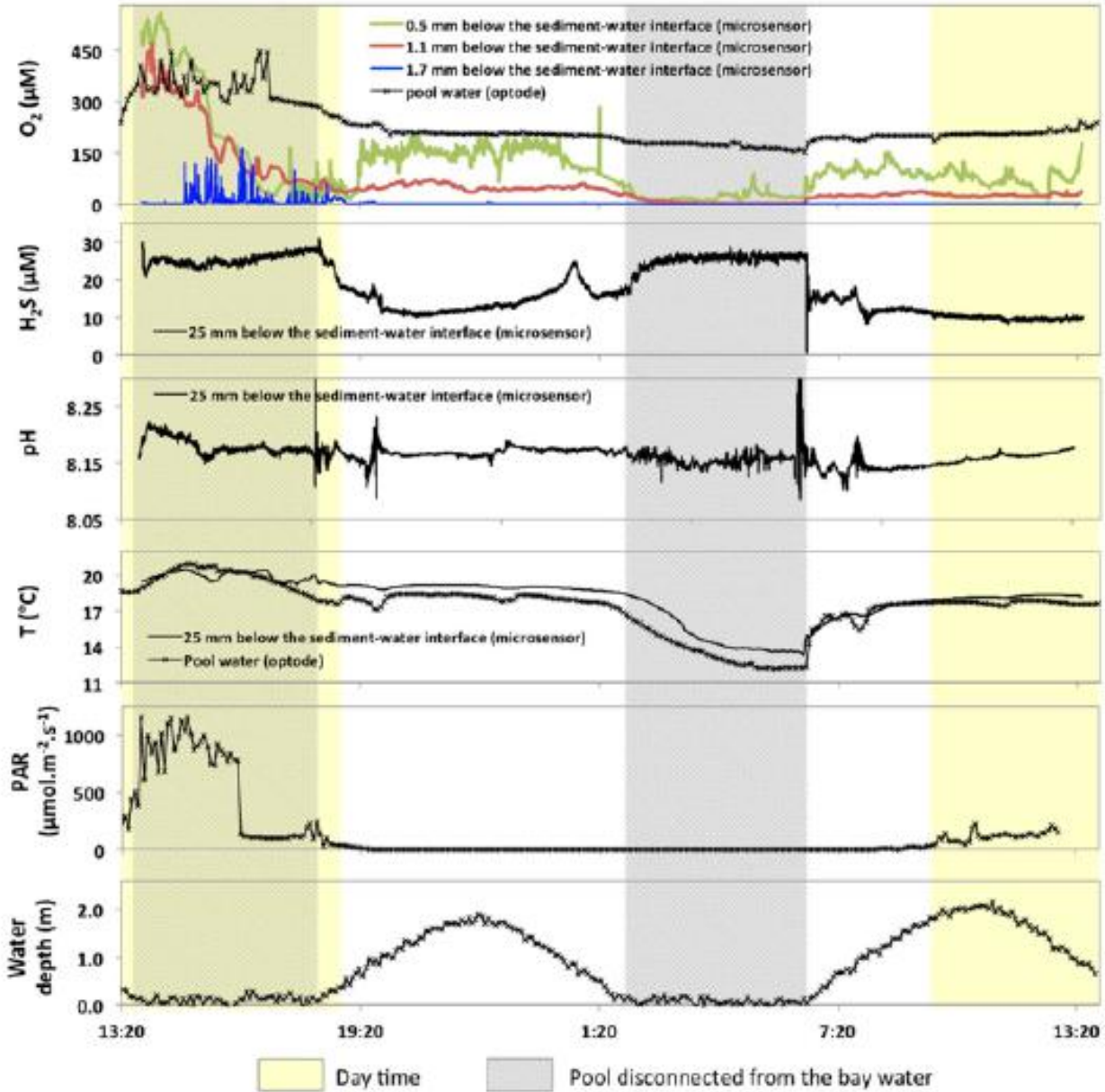


Figure III.7 Example of temporal changes in O₂, H₂S concentrations, pH and temperature at various depths below the sediment-water interface for a 24 h period in Arcachon Bay. Temperature and O₂ concentration in the pool water are reported as well as light (expressed here as Photosynthetically Active Radiation) and water depth.

Bassin d'Arcachon

Rigaud S, Deflandre B, Maire O, Bernard G, Duchêne JC, Poirier D, Anschutz P (2018)
Transient biogeochemistry in intertidal sediments:
New insights from tidal pools in *Zostera noltei*
meadows of Arcachon Bay (France). *Marine Chemistry* 200:1-13

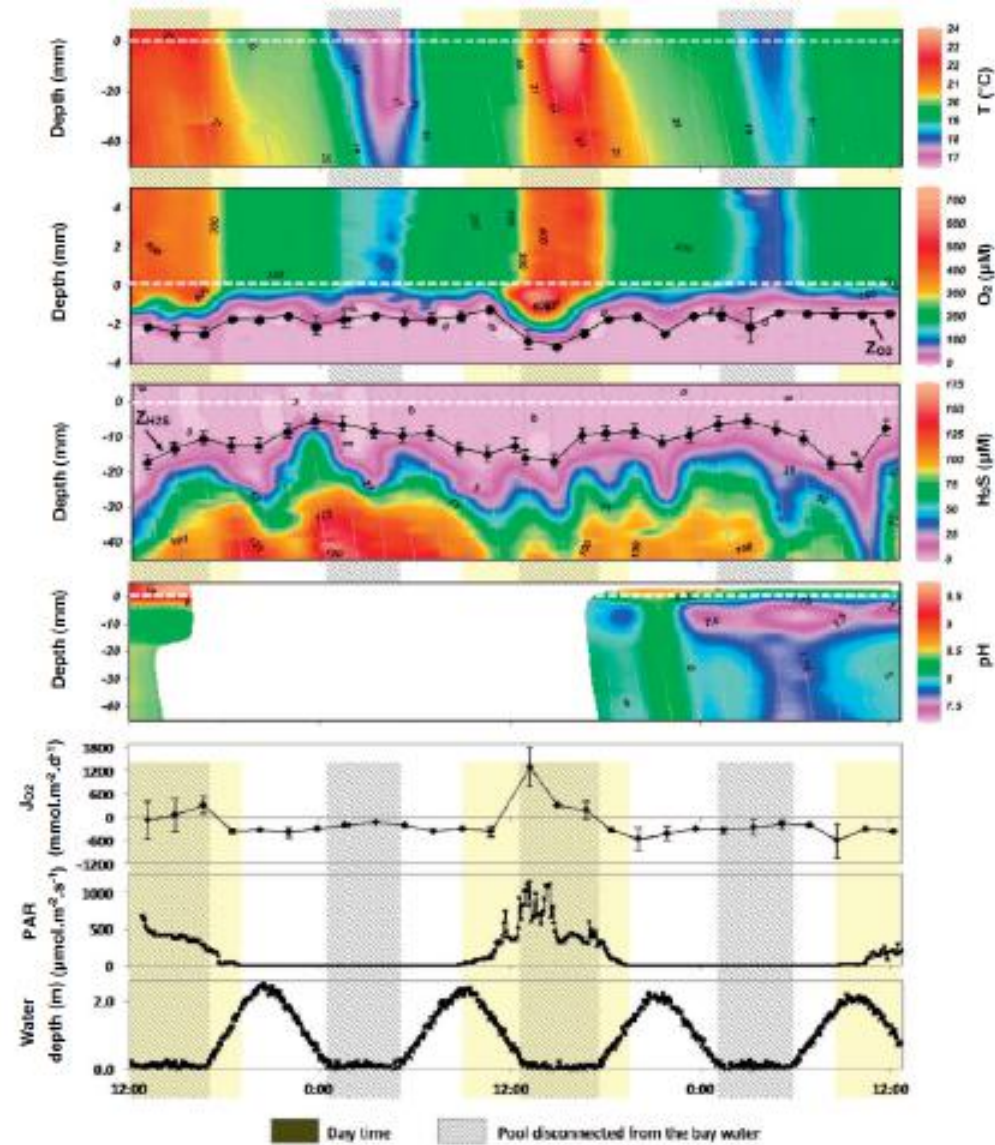


Figure III.8 Depth profiles of O_2 and H_2S concentrations, pH and temperature measured for a 48 h period with the MP5 micro-profiler in a pool sediment of Arcachon Bay. The 2D mapping was carried out using the DIVA gridding mode of the Ocean Data View software (Schlitzer, 2018). The O_2 penetration depth (Z_{O_2}), apparition depth of H_2S (Z_{H_2S}) and diffusive O_2 fluxes at the sediment-water interface (J_{O_2}) obtained from the depth profiles ($n=3$) are also reported. Negative J_{O_2} values are associated to fluxes from the water to the sediment. The horizontal white dashed lines correspond to the sediment-water interface. PAR and water depth are also reported with the periods when the pool was disconnected from bay water (dashed area) and the daylight period (light shaded areas). The absence of pH values is due to a broken electrode during the profiling sequence.

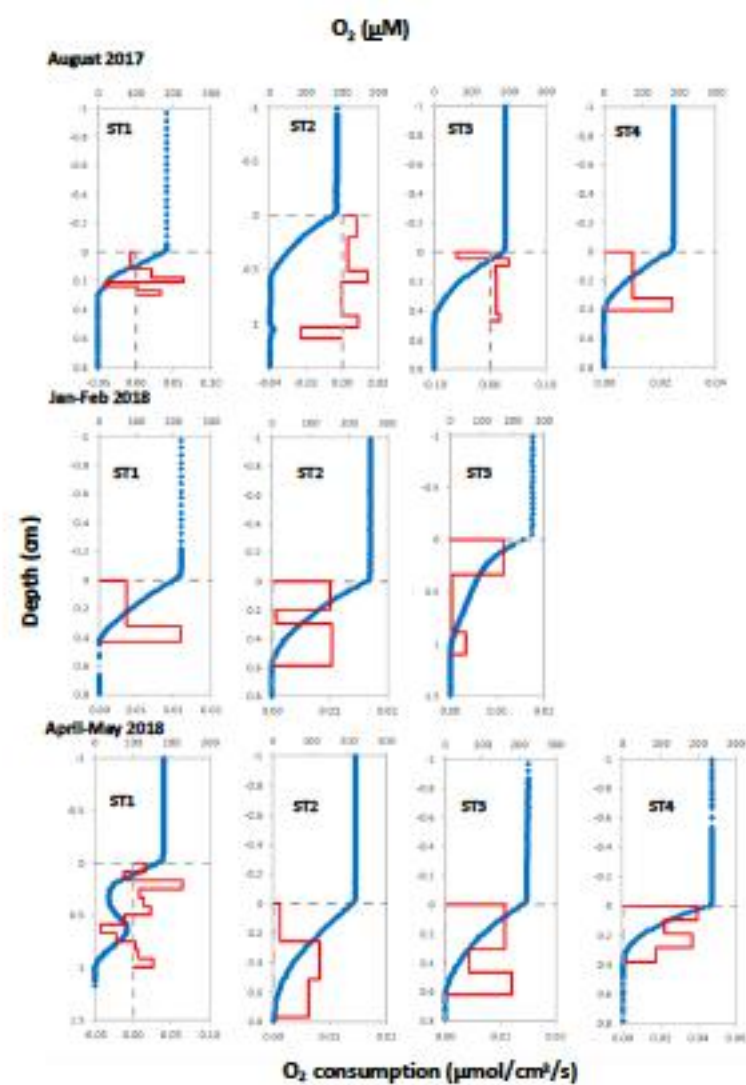


Figure III.11 Selected depth profiles of O_2 measured with the MP7 micro-profiler in the West Gironde Mud Patch during JRAP2 cruises in August 2017, Jan-Feb 2018, and April-May 2018; no data in Oct-Nov 2016 due to a communication issue between the profiler and computer. Red line represents O_2 consumption rates calculated by modeling using the PROFILE software (Berg et al., 1998), and dashed line represents the sediment-water interface.

Vasière Ouest Gironde

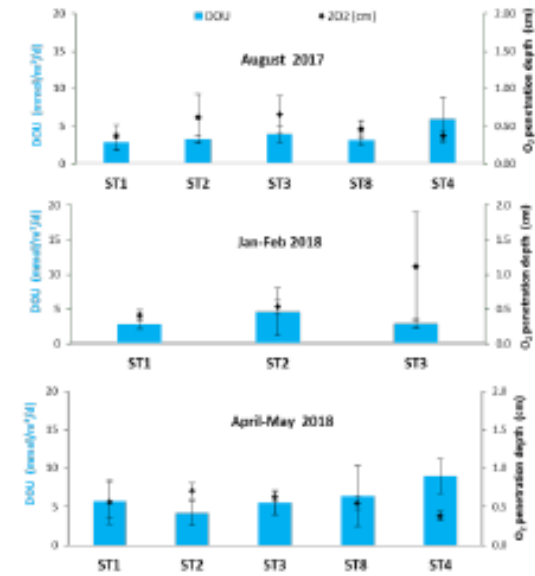


Figure III.12 Spatiotemporal changes in O_2 penetration depths and diffusive O_2 uptake rates (DOU) calculated from depth profiles of O_2 measured with the MP7 micro-profiler in the WGMP during the JRAP2 cruises (Oct-Nov 2016, August 2017, Jan-Feb 2018, April-May 2018; see **Figure III.11**). The number of studied stations is variable, depending on meteorological conditions. No data in Oct-Nov 2016 due to a communication issue between the profiler and computer.